

ТЕНЗОРНО-ФРАКТАЛЬНОЕ ОПИСАНИЕ НЕОПРЕДЕЛЕННОСТИ ЦВЕТА ЦИФРОВЫХ ИЗОБРАЖЕНИЙ

Измерение цвета объектов по цифровым изображениям заключается в определении координат цвета и цветности в выбранном цветовом пространстве (XYZ, CIE $L^*a^*b^*$, CIE $L^*u^*v^*$, YIQ, YCbCr, CIECAM16, ITU-TN.273, ITU-TN.265, SDTV и др.) при обеспечении условий метрологической прослеживаемости. Неопределенность измерения, обусловленная бесконечным множеством реализаций объектов в виде цифровых изображений и неизбежными потерями данных, представляет собой геометрическое место точек в цветовом пространстве и описывается произвольным числом входных и выходных величин. В этой связи эффективна разработанная валидационная модель информационно-измерительного канала: цифровое изображение является результатом свертки гамутов элементов «осветитель» X_1 , «освещаемая поверхность» X_2 , «регистрирующее устройство» X_3 , «программное обеспечение» X_4 и «устройство отображения» X_5 и информационной моделью любого из них при условии, что все остальные элементы валидированы (верифицированы). Данная модель сводится к феномену ковариационного гиперкуба, показанного на рисунке 1а.

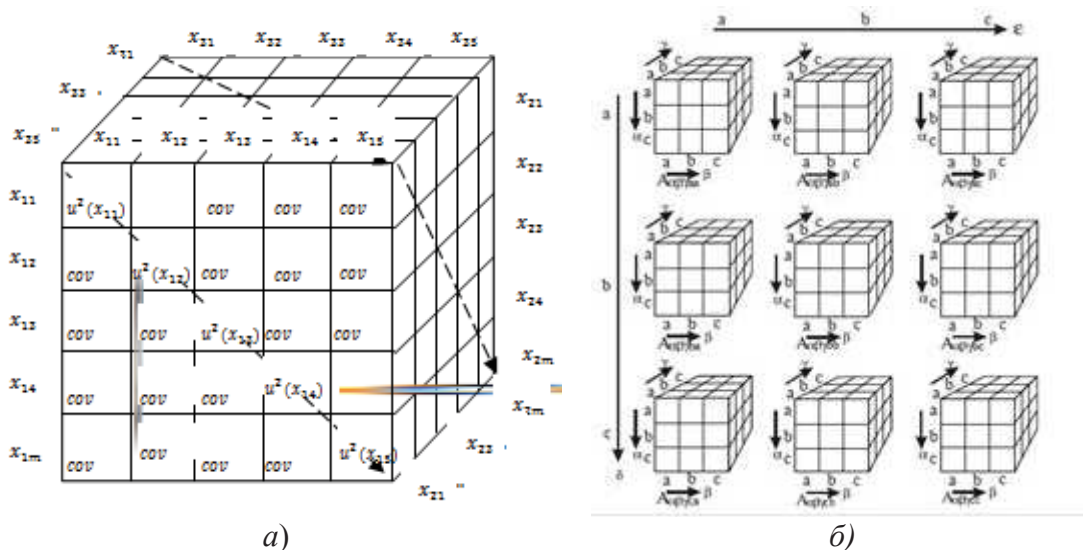


Рисунок 1 – Феномен ковариационного гиперкуба:
 а – триадное представление;
 б – разложение гиперкуба на составляющие

Выходной параметр Y_k определен набором координат цветности в аппаратно независимом пространстве:

$$Y_k = A \begin{pmatrix} r \\ g \\ b \end{pmatrix}, \quad (1)$$

где A – матрица перехода в координаты цветности аппаратно независимого пространства; r, g, b – координаты цветности в пространстве RGB .

Каждый элемент информационно-измерительного канала представлен множеством из W переменных, характеризующих многовариантные состояния системы (рисунок 2б), реализации которой отображаются в виде набора ковариационных матриц:

$$u_{ij} = \begin{cases} u^2(x_{1j}) & i = j \\ u(x_{1i}, x_{1j}) & i \neq j \end{cases}, \quad (2)$$

Переход к ортогональным матрицам высоких размерностей осуществляется посредством структурного цветового тензора G , для цветового пространства RGB имеющего вид [1]:

$$G = \begin{pmatrix} \overline{R_x^2 + G_x^2 + B_x^2} & \overline{R_x R_y + G_x G_y + B_x B_y} \\ \overline{R_x R_y + G_x G_y + B_x B_y} & \overline{R_y^2 + G_y^2 + B_y^2} \end{pmatrix} \quad (3)$$

Тензор позволяет осуществлять «прошивку» цветового пространства, соединяя элементы и состояния системы с соответствующими реализациями. Так, если цветовой тензор описывает двумерную структуру в определенной точке изображения, то для него можно определить его собственное значение по формуле (верхний индекс T обозначает операцию транспонирования) [2]:

$$\lambda_1 = 0,5(\overline{f_x^T f_x} \overline{f_y^T f_y} + \sqrt{(\overline{f_x^T f_x} - \overline{f_y^T f_y})^2 + (2\overline{f_x^T f_y})^2}) \quad (4)$$

Тогда тензоры, выходящие из нулевой точки и пересекающие плоскость локуса цветового пространства XYZ , могут быть объединены в семейства векторов $X^k_0 Y^k_0 Z^k_0$, $X^k_j Y^k_j Z^k_j$, $X^h_j Y^h_j Z^h_j$, $X^k_q Y^k_q Z^k_q$, $X^h_q Y^h_q Z^h_q$, формирующих направленные поля [1], удовлетворяющие выражениям для расчета координат цветности на цветовом локусе.

Связывание реперных точек цветового пространства, обладающих подобными свойствами (например, лежащих на векторах, выходящих начала координат; или соответствующих одной интенсивности, цветности и т. д.) предлагается осуществлять с помощью неориентированных графов. Вершины графов соответствуют точкам координатами цвета (X, Y, Z) пространства, таким, что $X \in [0; P], Y \in [0; R], Z \in [0; S]$, а ребра графа – связям между точками, равным номинальным ступеням квантования в выбранном направлении.

Пусть x, y – координаты точки в цветовом пространстве. Тогда для $i = 1 \dots W, j = 1 \dots H$ каждой паре (x, y) можно поставить точку в пятимерном пространстве [3]:

$$G = (V, E, Z, T, L) \quad (5)$$

где V – множество вершин графа; E – множество ребер графа; Z – глубина цвета; T – время экспозиции; L – количество слоев изображения.

Фрактальный подход, рассматриваемый в [4] как «модель, состоящая из совокупности непересекающихся слоев, и их отображений в информационном пространстве», использован авторами при описании неопределенности в программно-аппаратных средах, поскольку позволяет отображать переходы между уровнями (множествами состояний) «пиксель» - «область пикселей» - «элемент информационно-измерительного канала» - «информационно-измерительный канал» - «параметр элемента канала» и т.д. При этом каждый уровень характеризуется дисперсией, достоверностью и метрологической прослеживаемостью. Рассмотрим граф G , у которого V – множество вершин, E – множество ребер, $v_i \in V(G)$ – i -тая вершина ($i = 1 \dots W$), $e_{kl} = v_k v_l$, где $v_k, v_l \in V(G)$ – ребро, соединяющее вершины с индексами k, l . Обозначим через M_n – конечный n -вершинный граф с множеством вершин v_1, v_2, \dots, v_w . Известно, что неориентированный граф G с n вершинами связан, если имеет больше, чем $0,5(W-1)(W-2)k$ ребер. Пусть $W = 5, W = 8$. Обозначим следующий граф как M_5 . Такой граф называют затравкой [5] (это необходимо для введения понятия фрактал для графа). Рассмотрим процедуру расщепления вершин графа. Пусть при $q=1$ графу соответствует M_5 . Далее на каждом следующем этапе каждой вершине полученного на предыдущем шаге графа вновь ставим в соответствие затравку. На этапе $q = Q$ получим граф, который называют предфрактальным (n, Q) – графом. Процесс порождения предфрактального графа является процессом построения последовательности предфрактальных графов, называемый траекторией. В системе Wolfram Mathematica он может быть построен с помощью команды `Graph[graph, VertexSize -> Medium, VertexStyle -> Green]`, где входной параметр `graph` – это граф, построенный на предыдущем этапе. Операции комплексирования (движение «вверх») и разложения (движение «вниз») можно определить через фрактальную размерность n -мерного множества самоподобных объектов:

$$D = -\lim_{\varepsilon \rightarrow 0} \frac{\ln(N_\varepsilon)}{\ln(\varepsilon)}, \quad (6)$$

N_ε – минимальное число n -мерных шаров (значений величины) ради-

уса ε (равного расширенной неопределенности), необходимых для покрытия множества [6].

Заключение.

Фрактальный граф определяет граф с бесконечной траекторией. Заметим, что все ребра сохраняются и называются старыми ребрами по отношению к ребрам, появившимся при построении графа на данном этапе. Тензорно-фрактальное описание неопределенности цвета цифровых изображений позволяет фиксировать состояния информационно-измерительной системы, увязывая их с реализациями в виде цифровых изображений, и осуществлять оптимизацию состояний по критерию минимума неопределенности в дискретных системах с произвольным числом входных и выходных величин на основе нисходящего и восходящего подходов.

ЛИТЕРАТУРА

1. Ложкин, Л. Д. Преобразование цветового пространства МКО в строго равноконтрастное на основе тензорного исчисления / Л. Д. Ложкин, А. А. Вороной, А. А. Солдатов // Физика волновых процессов и радиотехнические системы, 2016. – Т. 19, № 4. – С. 50–59.

2. Макаров, Д. Г. Цифровая обработка телевизионных измерительных сигналов / Д. Г. Макаров // Цифровая обработка сигналов, 2007. – № 3. – С. 30–36.

3. Штанчаев, Х. Б. Математическая модель представления изображения в системах распознавания образов / Х. Б. Штанчаев // Мир науки. Научный интернет-журнал. ISSN 2309-4265 Выпуск 2 - 2015 апрель - июнь <http://mir-nauki.com/issue-2-2015.html>. URL статьи: <http://mir-nauki.com/PDF/29TMN215.pdf>_(дата доступа: 02.01.2022).

4. Потапов, А. А. Фрактальный конденсатор, дробные операторы и фрактальные импедансы / А. А. Потапов, А. А. Потапов (мл.), В. А. Потапов // Нелинейный мир, 2006, 4(4-5). – С. 172–187.

5. Божокин С. В., Паршин Д. А. Фракталы и мультифракталы. – Москва – Ижевск, 2001. – С. 15-18. – 128 с. – ISBN 5-93972-060-9.

6. Гуляев, Ю. В. Применение теории фракталов, дробных операторов, текстур, эффектов скейлинга и методов нелинейной динамики в синтезе новых информационных технологий для задач радиоэлектроники (в частности, радиолокации) / Ю. В. Гуляев, А. А. Потапов. Радиотехника и электроника, 2019, 64(9):839–854.